

# Bloch-Gleichungen

# Übersicht

## ESR, NMR

Resonante **Absorption** von **Mikrowellenstrahlen** durch paramagnetische Ionen, Moleküle o.ä. in einem **statischen Magnetfeld**.

## Bloch-Gleichungen

**Bewegungsgleichungen** für die **Magnetisierung  $\vec{M}$**  einer Probe unter dem Einfluss äußerer Magnetfelder.

# Übersicht (2)

## ■ Magnetisches Moment

$$\vec{\mu} = -\mu_B (\vec{L} + g_e \vec{S}) = -g\mu_B \vec{J} = -\gamma \hbar \vec{J} \quad (1)$$

## ■ Landé-Faktor (LS-Kopplung)

$$g = 1 + \frac{J(J+1) + S(S+1) - L(L+1)}{2J(J+1)} \quad (2)$$

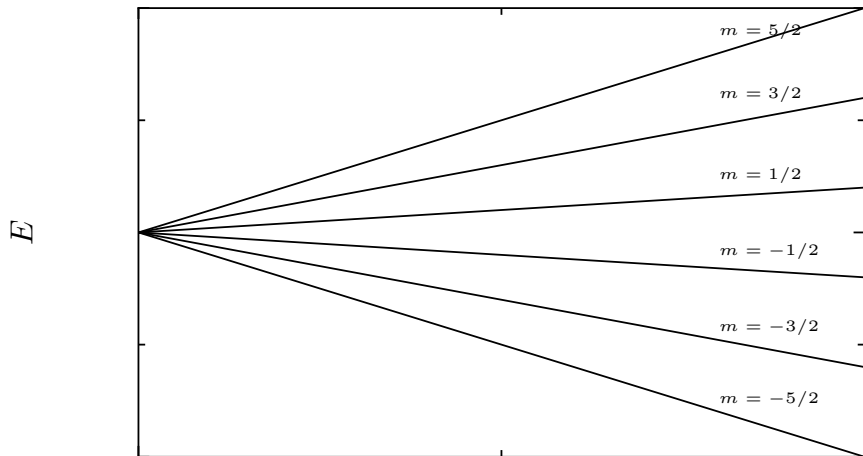
## ■ Hamilton-Operator

$$\mathcal{H} = -\vec{\mu} \cdot \vec{H} = g\mu_B \vec{H} \cdot \vec{J} = g\mu_B H J_z \quad (3)$$

mit den Eigenwerten

$$E = g\mu_B H m \quad (m = -J, -J+1, \dots, J-1, J) \quad (4)$$

# Zeeman-Aufspaltung

 $H$

# Bewegungsgleichungen

## ■ Ausgangspunkt

$$\mathcal{H} = -\vec{\mu} \cdot \vec{H} = \gamma \hbar \vec{H} \cdot \vec{J} = \gamma \hbar H J_z \quad (5)$$

$$\vec{\mu} = -\gamma \hbar \vec{J} \quad (6)$$

## ■ Erwartungswert des magnetischen Moments

$$\langle \vec{\mu} \rangle = \int \Psi^* \vec{\mu} \Psi d\tau \quad (7)$$

## ■ Heisenbergsche Bewegungsgleichung

$$\frac{d}{dt} \langle \vec{\mu} \rangle = \frac{i}{\hbar} \langle [\mathcal{H}, \vec{\mu}] \rangle + \left\langle \frac{\partial \vec{\mu}}{\partial t} \right\rangle \quad (8)$$

# Bewegungsgleichungen

## ■ Ausgangspunkt

$$\mathcal{H} = -\vec{\mu} \cdot \vec{H} = \gamma \hbar \vec{H} \cdot \vec{J} = \gamma \hbar H J_z \quad (5)$$

$$\vec{\mu} = -\gamma \hbar \vec{J} \quad (6)$$

## ■ Erwartungswert des magnetischen Moments

$$\langle \vec{\mu} \rangle = \int \Psi^* \vec{\mu} \Psi d\tau \quad (7)$$

## ■ Heisenbergsche Bewegungsgleichung

$$\frac{d}{dt} \langle \vec{\mu} \rangle = \frac{i}{\hbar} \langle [\mathcal{H}, \vec{\mu}] \rangle \quad (8)$$

# Bewegungsgleichungen

## ■ Ausgangspunkt

$$\mathcal{H} = -\vec{\mu} \cdot \vec{H} = \gamma \hbar \vec{H} \cdot \vec{J} = \gamma \hbar H J_z \quad (5)$$

$$\vec{\mu} = -\gamma \hbar \vec{J} \quad (6)$$

## ■ Erwartungswert des magnetischen Moments

$$\langle \vec{\mu} \rangle = \int \Psi^* \vec{\mu} \Psi d\tau \quad (7)$$

## ■ Heisenbergsche Bewegungsgleichung

$$\frac{d}{dt} \langle \vec{\mu} \rangle = \frac{i}{\hbar} \langle [\mathcal{H}, \vec{\mu}] \rangle = -i\gamma^2 \hbar H \langle [J_z, \vec{J}] \rangle \quad (8)$$

# Bewegungsgleichungen (2)

## ■ Kommutatorrelation

$$[J_z, \vec{J}] = i (J_y \vec{e}_x - J_x \vec{e}_y) \quad (9)$$

## ■ Bewegungsgleichung

$$\frac{d}{dt} \langle \vec{\mu} \rangle = \frac{i}{\hbar} \langle [\mathcal{H}, \vec{\mu}] \rangle \quad (10)$$

$$= -i\gamma^2 \hbar H \langle [J_z, \vec{J}] \rangle \quad (11)$$

# Bewegungsgleichungen (2)

## ■ Kommutatorrelation

$$[J_z, \vec{J}] = i (J_y \vec{e}_x - J_x \vec{e}_y) \quad (9)$$

## ■ Bewegungsgleichung

$$\frac{d}{dt} \langle \vec{\mu} \rangle = \frac{i}{\hbar} \langle [\mathcal{H}, \vec{\mu}] \rangle \quad (10)$$

$$= -i\gamma^2 \hbar H \langle [J_z, \vec{J}] \rangle \quad (11)$$

$$\stackrel{(9)}{=} \gamma^2 \hbar H \langle J_y \vec{e}_x - J_x \vec{e}_y \rangle \quad (12)$$

# Bewegungsgleichungen (2)

## ■ Kommutatorrelation

$$[J_z, \vec{J}] = i (J_y \vec{e}_x - J_x \vec{e}_y) \quad (9)$$

## ■ Bewegungsgleichung

$$\frac{d}{dt} \langle \vec{\mu} \rangle = \frac{i}{\hbar} \langle [\mathcal{H}, \vec{\mu}] \rangle \quad (10)$$

$$= -i\gamma^2 \hbar H \langle [J_z, \vec{J}] \rangle \quad (11)$$

$$\stackrel{(9)}{=} \gamma^2 \hbar H \langle J_y \vec{e}_x - J_x \vec{e}_y \rangle \quad (12)$$

$$= \gamma \vec{H} \times \langle \vec{\mu} \rangle \quad (13)$$

# Bewegungsgleichungen (2)

## ■ Kommutatorrelation

$$[J_z, \vec{J}] = i (J_y \vec{e}_x - J_x \vec{e}_y) \quad (9)$$

## ■ Bewegungsgleichung

$$\frac{d}{dt} \langle \vec{\mu} \rangle = \frac{i}{\hbar} \langle [\mathcal{H}, \vec{\mu}] \rangle \quad (10)$$

$$= -i\gamma^2 \hbar H \langle [J_z, \vec{J}] \rangle \quad (11)$$

$$\stackrel{(9)}{=} \gamma^2 \hbar H \langle J_y \vec{e}_x - J_x \vec{e}_y \rangle \quad (12)$$

$$= \gamma \vec{H} \times \langle \vec{\mu} \rangle \quad (13)$$

## Bewegungsgleichungen

$$\frac{d}{dt} \langle \vec{\mu} \rangle = \gamma \vec{H} \times \langle \vec{\mu} \rangle$$

# Bewegungsgleichungen (3)

Voraussetzungen:

- Dipole wechselwirken nicht miteinander
- isotropes System
- Gültigkeit der LS-Kopplung

Magnetisierung:

- Magnetisierung

$$\vec{M} = N \langle \vec{\mu} \rangle_{\text{avg}} \quad (14)$$

- Bewegungsgleichung für Magnetisierung

$$\frac{d}{dt} \vec{M} = \gamma \vec{H} \times \vec{M} \quad (15)$$

# Bewegungsgleichungen (3)

Voraussetzungen:

- Dipole wechselwirken nicht miteinander
- isotropes System
- Gültigkeit der LS-Kopplung

Magnetisierung:

- Magnetisierung

$$\vec{M} = N \langle \vec{\mu} \rangle_{\text{avg}} \quad (14)$$

- Bewegungsgleichung für Magnetisierung

$$\frac{d}{dt} \vec{M} = \gamma \vec{H} \times \vec{M} \quad (15)$$

# Lösung im statischen Magnetfeld

- statisches, zeitunabhängiges Magnetfeld  $\vec{H} = H\vec{e}_z$
- Bewegungsgleichungen

$$\dot{\mu}_x = -\gamma H \mu_y \quad (16)$$

$$\dot{\mu}_y = \gamma H \mu_x \quad (17)$$

$$\dot{\mu}_z = 0 \quad (18)$$

- DGl des harmonischen Oszillators

$$\ddot{\mu}_x = -(\gamma H)^2 \mu_x = -\omega^2 \mu_x \quad (19)$$

- Lösung

$$\mu_x(t) = \mu_x(0) \cos \omega t - \mu_y(0) \sin \omega t \quad (20)$$

$$\mu_y(t) = \mu_x(0) \sin \omega t + \mu_y(0) \cos \omega t \quad (21)$$

$$\mu_z(t) = \mu_z(0) \quad (22)$$

- Larmorfrequenz:  $f = \frac{\gamma H}{2\pi}$

# Lösung im statischen Magnetfeld

- statisches, zeitunabhängiges Magnetfeld  $\vec{H} = H\vec{e}_z$
- Bewegungsgleichungen

$$\dot{\mu}_x = -\gamma H \mu_y \quad (16)$$

$$\dot{\mu}_y = \gamma H \mu_x \quad (17)$$

$$\dot{\mu}_z = 0 \quad (18)$$

- DGl des harmonischen Oszillators

$$\ddot{\mu}_x = -(\gamma H)^2 \mu_x = -\omega^2 \mu_x \quad (19)$$

- Lösung

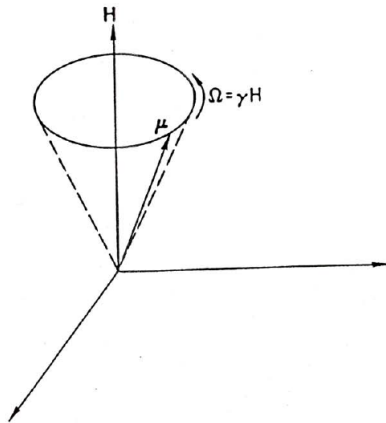
$$\mu_x(t) = \mu_x(0) \cos \omega t - \mu_y(0) \sin \omega t \quad (20)$$

$$\mu_y(t) = \mu_x(0) \sin \omega t + \mu_y(0) \cos \omega t \quad (21)$$

$$\mu_z(t) = \mu_z(0) \quad (22)$$

- Larmorfrequenz:  $f = \frac{\gamma H}{2\pi}$

# Lösung im statischen Magnetfeld (2)



Vektor  $\vec{\mu}$  rotiert bei konstanter Länge und mit konstantem Winkel um das Magnetfeld  $\vec{H}$

# Lösung im rotierenden Magnetfeld

- Magnetfeld  $\vec{H} = \vec{H}_1 + H_0 \vec{e}_z$
- Magnetfeld  $H_1$

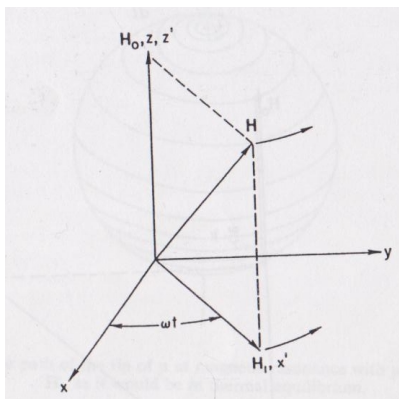
$$\begin{aligned}
 \vec{H}_1 &= 2H_1 \cos \omega t \vec{e}_x = \\
 &= H_1 (\underbrace{\vec{e}_x \cos \omega t + \vec{e}_y \sin \omega t}_{1. \text{ Term}}) + H_1 (\underbrace{\vec{e}_x \cos \omega t - \vec{e}_y \sin \omega t}_{2. \text{ Term}})
 \end{aligned}
 \tag{23}$$

- 1. Term: Magnetfeld, das um  $\vec{H}_0$  rotiert in gleicher Richtung wie die Larmorpräzession
- 2. Term: Magnetfeld, das um  $\vec{H}_0$  rotiert entgegen der Larmorpräzession
- falls  $H_1 \ll H_0$ : 2. Term vernachlässigbar

# Lösung im rotierenden Magnetfeld (2)

Magnetfeld:

$$\vec{H} = \vec{e}_x H_1 \cos \omega t + \vec{e}_y H_1 \sin \omega t + \vec{e}_z H_0 \quad (24)$$



# Lösung im rotierenden Magnetfeld (3)

Magnetfeld:

$$\vec{H} = \vec{e}_x H_1 \cos \omega t + \vec{e}_y H_1 \sin \omega t + \vec{e}_z H_0 \quad (25)$$

- Transformation ins rotierende Bezugssystem

$$\frac{d}{dt} = \left( \frac{d}{dt} \right)_{\text{rot}} + \vec{\omega} \times \quad (26)$$

- hier:

(27)

# Lösung im rotierenden Magnetfeld (3)

Magnetfeld:

$$\vec{H} = \vec{e}_x H_1 \cos \omega t + \vec{e}_y H_1 \sin \omega t + \vec{e}_z H_0 \quad (25)$$

- Transformation ins rotierende Bezugssystem

$$\frac{d}{dt} = \left( \frac{d}{dt} \right)_{\text{rot}} + \vec{\omega} \times \quad (26)$$

- hier:

$$\underbrace{\frac{d\vec{\mu}}{dt}}_{\gamma \vec{H} \times \vec{\mu}} = \frac{d\vec{\mu}'}{dt} + \vec{\omega} \times \vec{\mu} \quad (27)$$

# Lösung im rotierenden Magnetfeld (3)

Magnetfeld:

$$\vec{H} = \vec{e}_x H_1 \cos \omega t + \vec{e}_y H_1 \sin \omega t + \vec{e}_z H_0 \quad (25)$$

- Transformation ins rotierende Bezugssystem

$$\frac{d}{dt} = \left( \frac{d}{dt} \right)_{\text{rot}} + \vec{\omega} \times \quad (26)$$

- hier:

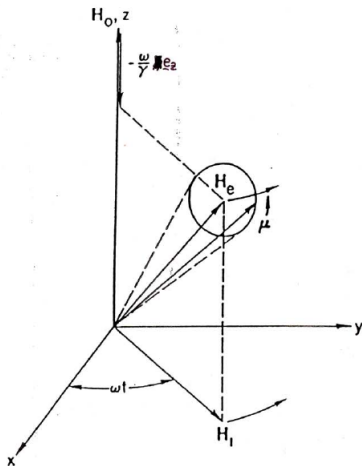
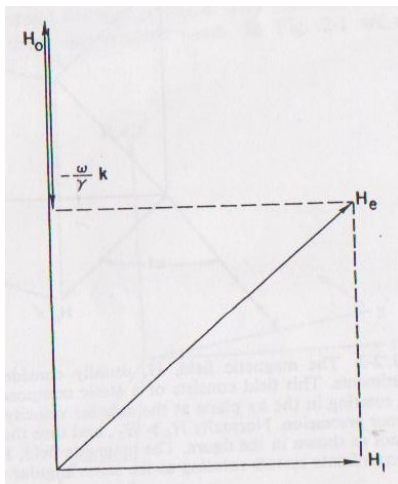
$$\frac{d\vec{\mu}}{dt} = \frac{d\vec{\mu}'}{dt} + \vec{\omega} \times \vec{\mu} \quad (27)$$

$$\Rightarrow \frac{d\vec{\mu}'}{dt} = \left( \gamma \vec{H} - \omega \vec{e}_z \right) \times \vec{\mu} \quad (28)$$

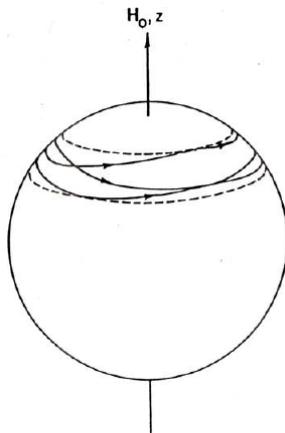
# Lösung im rotierenden Magnetfeld (4)

effektives Feld:

$$\vec{H}_e = \vec{e}'_x H_1 + \vec{e}'_z \left( H_0 - \frac{\omega}{\gamma} \right) \quad (29)$$

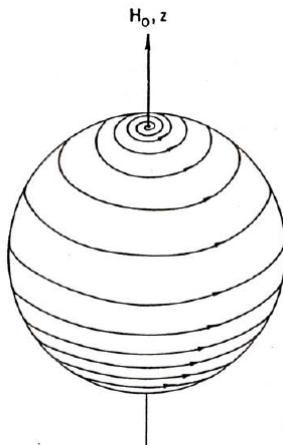


# Lösung im rotierenden Magnetfeld (5)



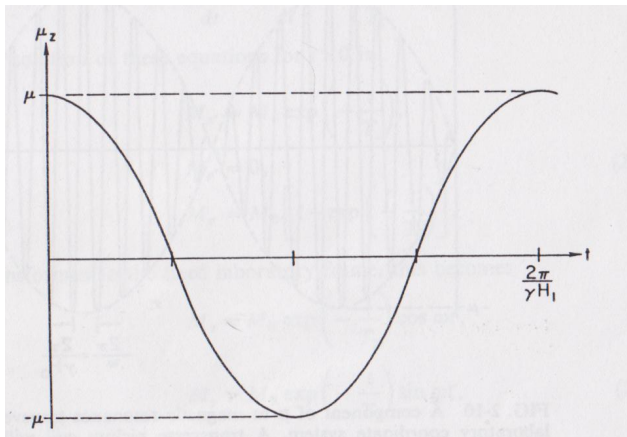
Spitze des  $\vec{\mu}$ -Vektors abseits von Resonanz

# Lösung im rotierenden Magnetfeld (6)



Spitze des  $\vec{\mu}$ -Vektors bei Resonanz

# Lösung im rotierenden Magnetfeld (7)



Komponente von  $\vec{\mu}$  entlang von  $\vec{H}_0$  bei magnetischer Resonanz  
( $90^\circ$ -Puls)

# Bloch-Gleichungen

- Relaxation statistisches Problem → Beschreibung durch Magnetisierung
- Annahme: lineare Antwort des Systems

$$\frac{dM_x}{dt} = \gamma \left( \vec{H} \times \vec{M} \right)_x - \frac{M_x}{T_2} \quad (30)$$

$$\frac{dM_y}{dt} = \gamma \left( \vec{H} \times \vec{M} \right)_y - \frac{M_y}{T_2} \quad (31)$$

$$\frac{dM_z}{dt} = \gamma \left( \vec{H} \times \vec{M} \right)_z + \frac{M_0 - M_z}{T_1} \quad (32)$$

- $T_1$ : longitudinale Relaxationszeit, Spin-Gitter-Relaxationszeit
- $T_2$ : transversale Relaxationszeit, Spin-Spin-Relaxationszeit

# 90°-Puls (NMR)

- Magnetisierung wird gegenüber  $\vec{H}_0$  um 90° ausgelenkt:  
 $\vec{M}(t = 0) = M_0 \vec{e}_x$
- Bloch-Gleichungen im rotierenden Bezugssystem

$$\frac{d' M_{x'}}{dt} = -\frac{M_{x'}}{T_2} \quad (33)$$

$$\frac{d' M_{y'}}{dt} = -\frac{M_{y'}}{T_2} \quad (34)$$

$$\frac{d' M_{z'}}{dt} = \frac{M_0 - M_{z'}}{T_1} \quad (35)$$

- Lösungen (im rotierenden Bezugssystem;  $\omega = \gamma H_0$ )

$$M_{x'} = M_0 \exp(-t/T_2) \quad (36)$$

$$M_{y'} = 0 \quad (37)$$

$$M_{z'} = M_0 (1 - \exp(-t/T_1)) \quad (38)$$

# 90°-Puls (NMR)

- Magnetisierung wird gegenüber  $\vec{H}_0$  um 90° ausgelenkt:  
 $\vec{M}(t=0) = M_0 \vec{e}_x$
- Bloch-Gleichungen im rotierenden Bezugssystem

$$\frac{d' M_{x'}}{dt} = -\frac{M_{x'}}{T_2} \quad (33)$$

$$\frac{d' M_{y'}}{dt} = -\frac{M_{y'}}{T_2} \quad (34)$$

$$\frac{d' M_{z'}}{dt} = \frac{M_0 - M_{z'}}{T_1} \quad (35)$$

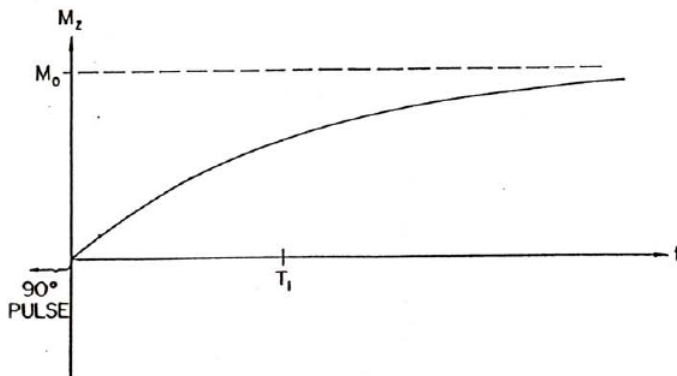
- Lösungen (im Laborsystem)

$$M_x = M_0 \exp(-t/T_2) \cos \omega t \quad (36)$$

$$M_y = M_0 \exp(-t/T_2) \sin \omega t \quad (37)$$

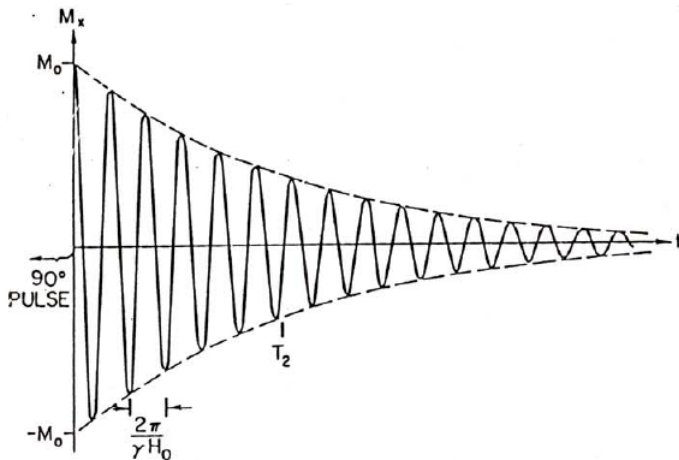
$$M_z = M_0 (1 - \exp(-t/T_1)) \quad (38)$$

# 90°-Puls (NMR) (2)



Magnetisierung  $\vec{M}$  entlang von  $\vec{H}_0$  nach einem  $90^\circ$ -Puls

# 90°-Puls (NMR) (3)



Komponente von  $\vec{M}$  transversal zu  $\vec{H}_0$  nach einem  $90^\circ$ -Puls

# Slow Passage (ESR)

- $\vec{H}_0$  bzw.  $\omega$  werden langsam gegenüber  $T_1$ ,  $T_2$  variiert
- effektives Magnetfeld

$$\vec{H}_e = \vec{e}_{x'} H_1 + \vec{e}_{z'} \left( H_0 - \frac{\omega}{\gamma} \right) \quad (39)$$

- Bloch-Gleichungen im rotierenden Bezugssystem

$$\frac{d' M_{x'}}{dt} = \gamma \left( \vec{H}_e \times \vec{M} \right)_{x'} - \frac{M_{x'}}{T_2} \quad (40)$$

$$\frac{d' M_{y'}}{dt} = \gamma \left( \vec{H}_e \times \vec{M} \right)_{y'} - \gamma H_1 M_{z'} - \frac{M_{y'}}{T_2} \quad (41)$$

$$\frac{d' M_{z'}}{dt} = \gamma \left( \vec{H}_e \times \vec{M} \right)_{z'} + \frac{M_0 - M_{z'}}{T_1} \quad (42)$$

# Slow Passage (ESR)

- $\vec{H}_0$  bzw.  $\omega$  werden langsam gegenüber  $T_1$ ,  $T_2$  variiert
- effektives Magnetfeld

$$\vec{H}_e = \vec{e}_{x'} H_1 + \vec{e}_{z'} \left( H_0 - \frac{\omega}{\gamma} \right) \quad (39)$$

- Bloch-Gleichungen im rotierenden Bezugssystem

$$\frac{d' M_{x'}}{dt} = -(\gamma H_0 - \omega) M_{y'} - \frac{M_{x'}}{T_2} \quad (40)$$

$$\frac{d' M_{y'}}{dt} = (\gamma H_0 - \omega) M_{x'} - \gamma H_1 M_{z'} - \frac{M_{y'}}{T_2} \quad (41)$$

$$\frac{d' M_{z'}}{dt} = \gamma H_1 M_{y'} + \frac{M_0 - M_{z'}}{T_1} \quad (42)$$

# Slow Passage (ESR) (2)

- langsame Änderungen  $\Rightarrow$  stationäre Lösung

$$\frac{d'}{dt}M_{x'} = \frac{d'}{dt}M_{y'} = \frac{d'}{dt}M_{z'} = 0 \quad (43)$$

- Lösungen des linearen Gleichungssystems

$$M_{x'} = \frac{\gamma H_1 (\gamma H_0 - \omega) T_2^2}{1 + (\gamma H_0 - \omega)^2 T_2^2 + \gamma^2 H_1^2 T_1 T_2} M_0 \quad (44)$$

$$M_{y'} = \frac{-\gamma H_1 T_2}{1 + (\gamma H_0 - \omega)^2 T_2^2 + \gamma^2 H_1^2 T_1 T_2} M_0 \quad (45)$$

$$M_{z'} = \frac{1 + (\gamma H_0 - \omega)^2 T_2^2}{1 + (\gamma H_0 - \omega)^2 T_2^2 + \gamma^2 H_1^2 T_1 T_2} M_0 \quad (46)$$

# Slow Passage (ESR) (3)

- komplexe Suszeptibilität  $\chi = \chi' - i\chi''$
- Dispersion

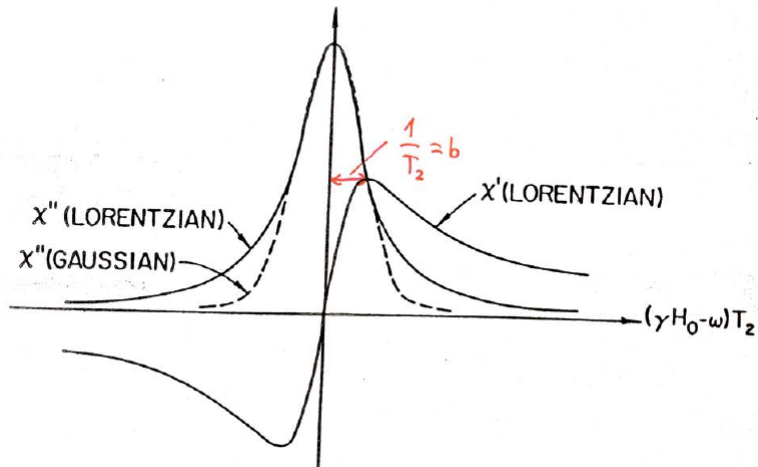
$$\chi' = \frac{M_{x'}}{H_1} = \frac{\gamma(\gamma H_0 - \omega)T_2^2 M_0}{1 + (\gamma H_0 - \omega)^2 T_2^2 + \gamma^2 H_1^2 T_1 T_2} \quad (47)$$

- Absorption

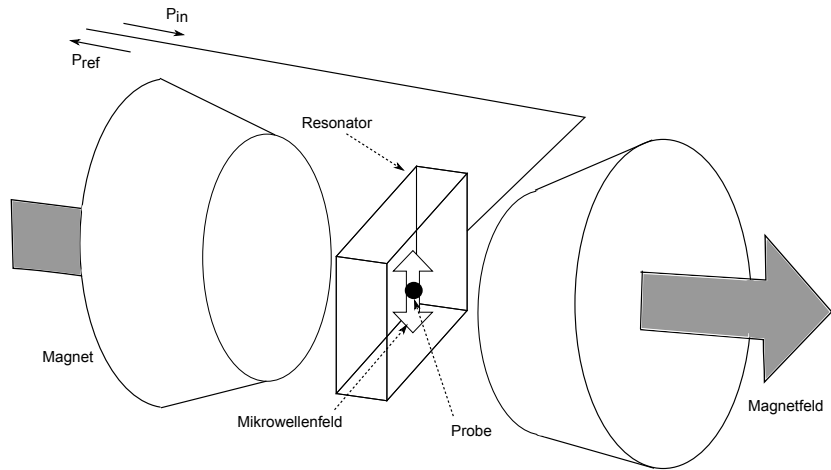
$$\chi'' = \frac{-M_{y'}}{H_1} = \frac{\gamma T_2 M_0}{1 + (\gamma H_0 - \omega)^2 T_2^2 + \gamma^2 H_1^2 T_1 T_2} \quad (48)$$

- Absorption: Lorentz-Kurve

# Slow Passage (ESR) (4)



# ESR - Versuchsdurchführung



# Quellen

## Vielen Dank!

### Quellen:

- The Physical Principles of Electron Paramagnetic Resonance; Pake, Estle; 1973
- Einführung in die Festkörperphysik, Kittel